

# 1. Введение

Я создал репозиторий для удобства <https://github.com/kannab98/radiolocation>. Надеюсь, проблем с кодировками и путями в \*.m файлах не возникнет.

Кстати, разобрался почему прошлая моя программа не запустилась на вашем компьютере: поддержка внутрискриптовых функций была добавлена лишь в версии R2016a.

## Параметры

$\tau = 100$  мкс – длительность сигнала

$\Delta f = 3$  МГц – ширина полосы

$f_{\text{допл}} = 0.01 \cdot \Delta f$  – доплеровское смещение

$a = 1$  – коэффициент нелинейности

## Вопросы

- Верная ли функция взята для НЧМ?
- Действительно ли должно быть смещение свертки по оси времени при учете доплеровского смещения?

# 2. Линейная частотная модуляция

Рассмотрим сначала линейную зависимость

$$\omega(t) = 2\pi\Delta f = \frac{t}{\tau}, \quad (1)$$

где  $\Delta f = 3$  МГц – ширина полосы сигнала,  $\tau = 100$  мкс – длительность сигнала (см. рис. 2а).

Целью будет являться выделение сигнала вида  $x(t) = \exp\{i\omega(t)t\}$  (см. рис. 3) из статического шума. На практике это означает применение согласованного фильтра, который выполняет операцию свертки случайного сигнала

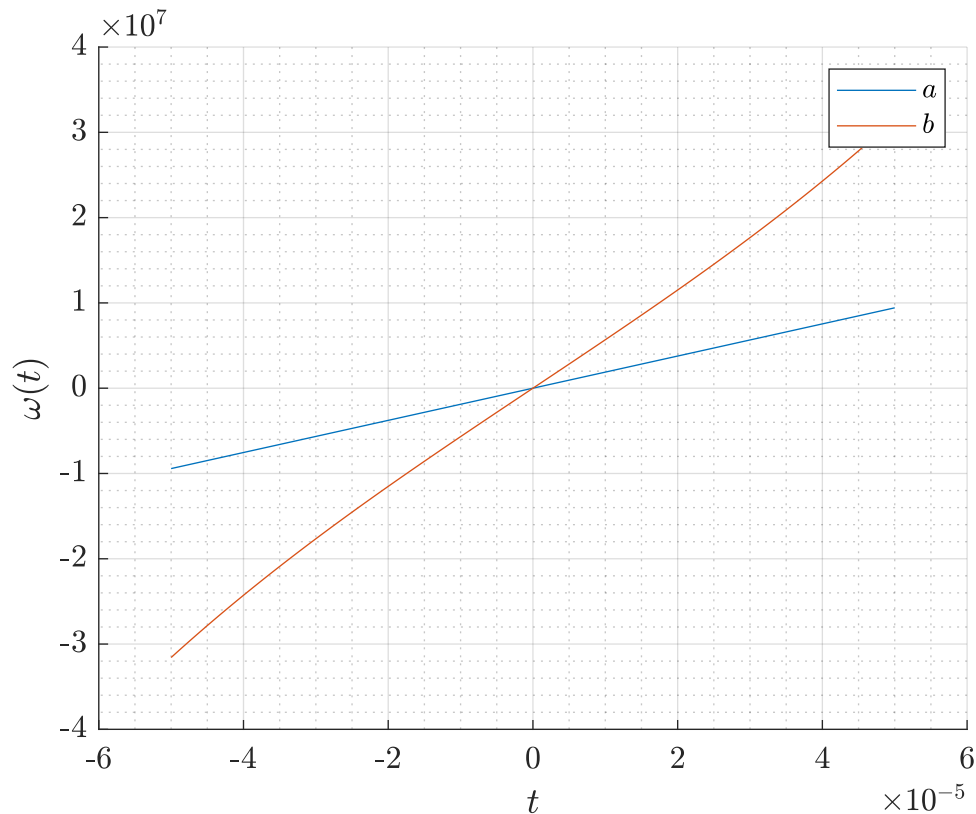


Рис. 1: Различные частотные модуляции: (а) линейная частотная модуляция; (б) нелинейная частотная модуляция.

$\xi(t)$  с детерминированным  $x(t)$

$$x(t) * \xi(t) = \int_{-\infty}^{\infty} x(t) \xi^*(t - \tau) d\tau.$$

Но операция нахождения функции свертки процесс ресурсоемкий, поэтому правильнее воспользоваться теоремой о свертке

$$x(t) * \xi(t) = X(\omega) \cdot \Xi^*(\omega), \text{ где}$$

$$X(\omega) = \int_{-\infty}^{\infty} x(t) e^{i\omega t} dt \equiv \mathfrak{F}\{x(t)\},$$

$$\Xi(\omega) = \int_{-\infty}^{\infty} \xi(t) e^{i\omega t} dt \equiv \mathfrak{F}\{\xi(t)\},$$

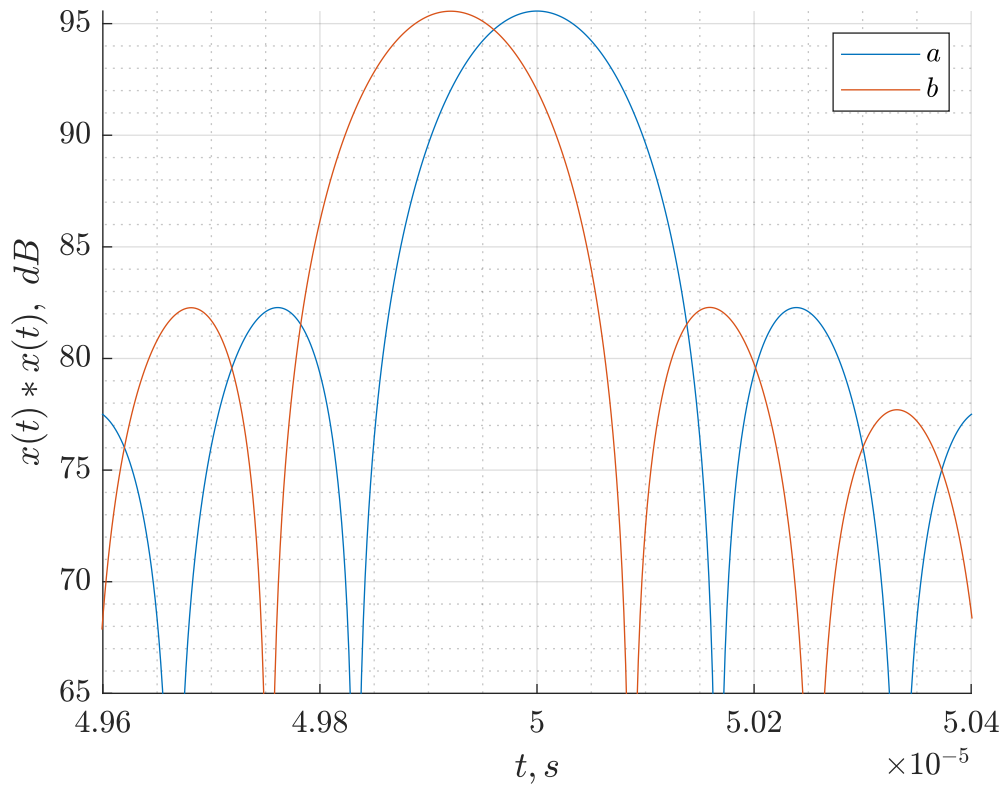


Рис. 2: Свертка детерминированного сигнала  $x(t)$  (ЛЧМ) с самим собой. (a) без учета доплеровского смещения; (b) с учетом доплеровского смещения.

перейти в частотную область и считать свертку как обратное Фурье преобразование спектров сигналов

$$x(t) * \xi(t) = \frac{1}{2\pi} \int_{-\infty}^{\infty} X(\omega) \cdot \Xi^*(\omega) e^{-i\omega t} d\omega = \mathfrak{F}^{-1}\{X(\omega) \cdot \Xi^*(\omega)\}.$$

На рис.2а изображена свертка детерминированного сигнала  $x(t)$  с самим собой, приведенная к логарифмическому масштабу.

### 3. Нелинейная частотная модуляция.

Нелинейная частотная модуляция используется для уменьшения высоты боковых лепестков у функции свертки  $x(t) * x(t)$ . В нашем случае НЧМ принимает вид

$$\omega(t) = 2\pi\Delta f \left( \frac{t}{\tau} + \sinh\left(a \frac{t}{\tau}\right) \right), \quad (2)$$

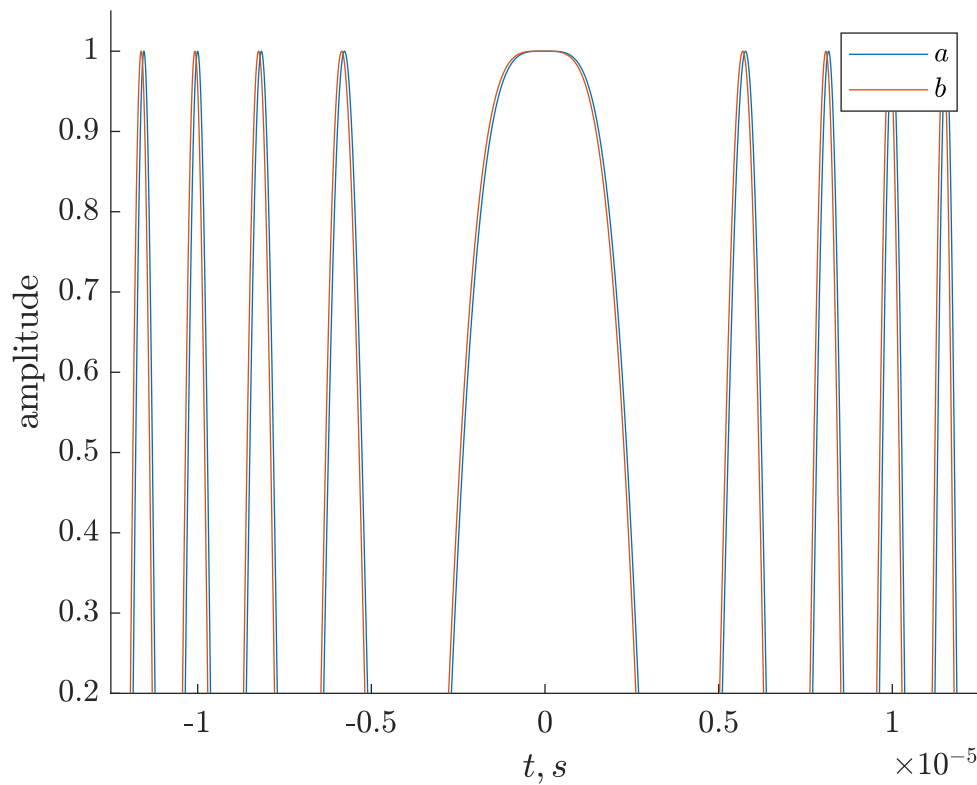


Рис. 3: Детерминированный сигнал  $x(t)$  (a) ЛЧМ; (b) НЧМ.

где  $a$  – коэффициент нелинейности. В предельном случае  $a = 0$  формула (2) вырождается в формулу (1).

Свертка для нелинейного случая изображена на рис. 4.

Как видно из рис. 4 боковые лепестки стали меньше, по сравнению с рис. 2 примерно на 5 дБ.

Также, на рис. 4b можно заметить что при учете доплеровского смещения график стал асимметричным: левый лепесток на 4 дБ слабее правого.

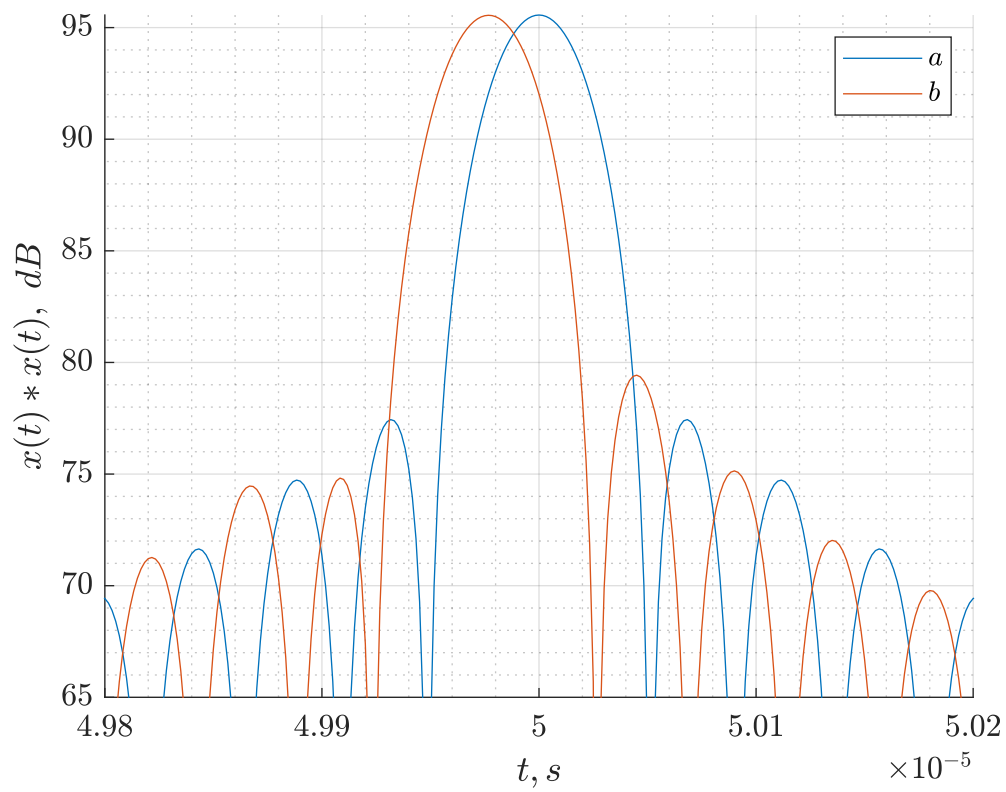


Рис. 4: Свертка детерминированного сигнала  $x(t)$  (НЧМ) с самим собой. (а) без учета доплеровского смещения; (б) с учетом доплеровского смещения.